

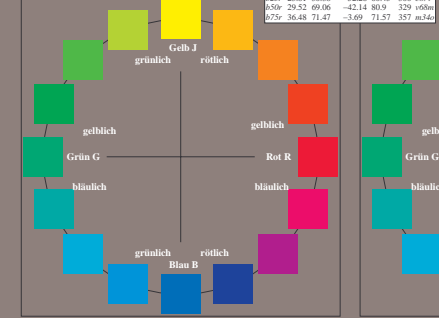
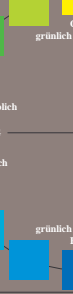
Ein und Ausgabe: Farbmetrisches Drucker-Reflexiv-System FR509_92a
 Daten für jede Farbe:
 u^*c und Nummer $N_c = 00...15$
 Elementar-Bunttonexte:
 $u^*c = 16$ Bunttonexte $r00r, r25j, \dots, b75r$
 Kontrastreduzierungs-faktor:
 $c_{kr} = 1.0$

FR509_92a adaptierte CIELAB-Daten
 $L^* a^* b^*$ $C_{100}^* M_{100}^* h_{100}^*$ h_{100}^* h_{100}^* h_{100}^*

000	35.47	63.32	30.17	70.15	25	m810
025	39.12	54.56	49.45	73.64	42	o109
050	50.64	39.15	64.89	75.79	59	o409
075	64.01	21.26	82.83	85.52	76	o699
100	83.18	-4.38	108.53	108.62	92	o989
125	66.73	-29.89	83.06	88.28	110	y340
150	54.03	-48.33	63.49	79.78	127	o990
175	44.73	-60.33	42.64	73.88	145	o836
200	47.59	-49.08	15.74	51.54	162	z236
225	48.97	-39.67	-6.72	40.27	190	z556
250	51.85	-32.33	-24.35	40.48	217	o876
275	47.58	-46.92	-17.29	-36.02	244	z206
300	37.91	1.28	-42.35	42.37	272	c539
325	23.81	30.38	-52.26	60.45	300	o876
350	29.52	69.06	-42.14	80.9	329	o686
375	36.48	71.47	-3.69	71.57	357	m346

FR509_92a adaptierte CIELAB-Daten
 $L^* a^* b^*$ $C_{100}^* M_{100}^* h_{100}^*$ h_{100}^* h_{100}^* h_{100}^*

000	35.06	60.0	44.0	74.4	36	
025	38.77	-5.17	109.32	109.44	93	
050	44.13	-62.67	48.24	79.09	142	
075	52.66	-29.14	-31.99	43.27	228	
100	14.15	50.3	-59.04	77.57	310	
125	37.37	78.64	-33.5	85.48	337	
150	8.58	0.0	0.0	0.0	0	
175	92.02	0.0	0.0	0.0	0	
200	39.92	58.74	27.99	65.07	25	
225	48.97	-39.67	-6.72	40.27	190	
250	51.85	-32.33	-24.35	40.48	217	
275	47.58	-46.92	-17.29	-36.02	244	
300	37.91	1.28	-42.35	42.37	272	
325	23.81	30.38	-52.26	60.45	300	
350	29.52	69.06	-42.14	80.9	329	
375	36.48	71.47	-3.69	71.57	357	



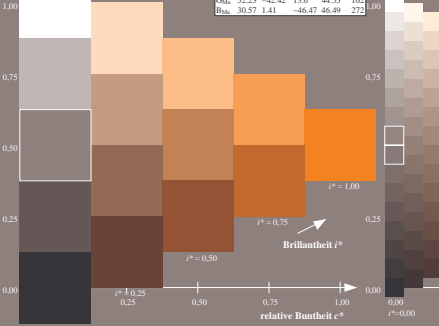
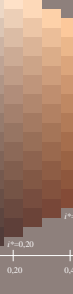
Ein und Ausgabe: Farbmetrisches Drucker-Reflexiv-System FR509_92a für relativen CIELAB-Buntton $h^* = lab^*h^* = h_{93/360} = 0.164$ $u^*c = r50j$
 Daten für jede Farbe:
 lab^*c und lab^*ic
 Bunttonexte:
 $u^*c = r50j$ $u^*d = o40y$
 Kontrastreduzierungs-faktor:
 $c_{kr} = 1.0$
 Dreiecks-Helligkeit l^*

FR509_92a adaptierte CIELAB-Daten
 $L^* a^* b^*$ $C_{100}^* M_{100}^* h_{100}^*$ h_{100}^* h_{100}^* h_{100}^*

000	35.06	60.0	44.0	74.4	36	
025	38.77	-5.17	109.32	109.44	93	
050	44.13	-62.67	48.24	79.09	142	
075	52.66	-29.14	-31.99	43.27	228	
100	14.15	50.3	-59.04	77.57	310	
125	37.37	78.64	-33.5	85.48	337	
150	8.58	0.0	0.0	0.0	0	
175	92.02	0.0	0.0	0.0	0	
200	39.92	58.74	27.99	65.07	25	
225	48.97	-39.67	-6.72	40.27	190	
250	51.85	-32.33	-24.35	40.48	217	
275	47.58	-46.92	-17.29	-36.02	244	
300	37.91	1.28	-42.35	42.37	272	
325	23.81	30.38	-52.26	60.45	300	
350	29.52	69.06	-42.14	80.9	329	
375	36.48	71.47	-3.69	71.57	357	

FR509_92a adaptierte CIELAB-Daten
 $L^* a^* b^*$ $C_{100}^* M_{100}^* h_{100}^*$ h_{100}^* h_{100}^* h_{100}^*

000	35.47	63.32	30.17	70.15	25	m810
025	39.12	54.56	49.45	73.64	42	o109
050	50.64	39.15	64.89	75.79	59	o409
075	64.01	21.26	82.83	85.52	76	o699
100	83.18	-4.38	108.53	108.62	92	o989
125	66.73	-29.89	83.06	88.28	110	y340
150	54.03	-48.33	63.49	79.78	127	o990
175	44.73	-60.33	42.64	73.88	145	o836
200	47.59	-49.08	15.74	51.54	162	z236
225	48.97	-39.67	-6.72	40.27	190	z556
250	51.85	-32.33	-24.35	40.48	217	o876
275	47.58	-46.92	-17.29	-36.02	244	z206
300	37.91	1.28	-42.35	42.37	272	c539
325	23.81	30.38	-52.26	60.45	300	o876
350	29.52	69.06	-42.14	80.9	329	o686
375	36.48	71.47	-3.69	71.57	357	m346



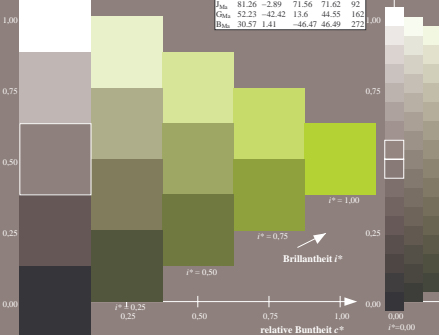
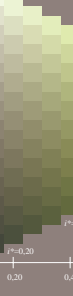
Ein und Ausgabe: Farbmetrisches Drucker-Reflexiv-System FR509_92a für relativen CIELAB-Buntton $h^* = lab^*h^* = h_{93/360} = 0.395$ $u^*c = r25j$
 Daten für jede Farbe:
 lab^*c und lab^*ic
 Bunttonexte:
 $u^*c = r25j$ $u^*d = y30l$
 Kontrastreduzierungs-faktor:
 $c_{kr} = 1.0$
 Dreiecks-Helligkeit l^*

FR509_92a adaptierte CIELAB-Daten
 $L^* a^* b^*$ $C_{100}^* M_{100}^* h_{100}^*$ h_{100}^* h_{100}^* h_{100}^*

000	35.06	60.0	44.0	74.4	36	
025	38.77	-5.17	109.32	109.44	93	
050	44.13	-62.67	48.24	79.09	142	
075	52.66	-29.14	-31.99	43.27	228	
100	14.15	50.3	-59.04	77.57	310	
125	37.37	78.64	-33.5	85.48	337	
150	8.58	0.0	0.0	0.0	0	
175	92.02	0.0	0.0	0.0	0	
200	39.92	58.74	27.99	65.07	25	
225	48.97	-39.67	-6.72	40.27	190	
250	51.85	-32.33	-24.35	40.48	217	
275	47.58	-46.92	-17.29	-36.02	244	
300	37.91	1.28	-42.35	42.37	272	
325	23.81	30.38	-52.26	60.45	300	
350	29.52	69.06	-42.14	80.9	329	
375	36.48	71.47	-3.69	71.57	357	

FR509_92a adaptierte CIELAB-Daten
 $L^* a^* b^*$ $C_{100}^* M_{100}^* h_{100}^*$ h_{100}^* h_{100}^* h_{100}^*

000	35.47	63.32	30.17	70.15	25	m810
025	39.12	54.56	49.45	73.64	42	o109
050	50.64	39.15	64.89	75.79	59	o409
075	64.01	21.26	82.83	85.52	76	o699
100	83.18	-4.38	108.53	108.62	92	o989
125	66.73	-29.89	83.06	88.28	110	y340
150	54.03	-48.33	63.49	79.78	127	o990
175	44.73	-60.33	42.64	73.88	145	o836
200	47.59	-49.08	15.74	51.54	162	z236
225	48.97	-39.67	-6.72	40.27	190	z556
250	51.85	-32.33	-24.35	40.48	217	o876
275	47.58	-46.92	-17.29	-36.02	244	z206
300	37.91	1.28	-42.35	42.37	272	c539
325	23.81	30.38	-52.26	60.45	300	o876
350	29.52	69.06	-42.14	80.9	329	o686
375	36.48	71.47	-3.69	71.57	357	m346



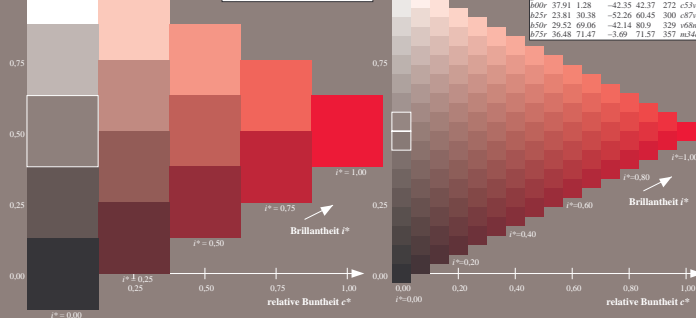
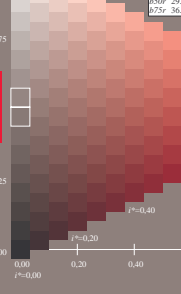
Ein und Ausgabe: Farbmetrisches Drucker-Reflexiv-System FR509_92a für relativen CIELAB-Buntton $h^* = lab^*h^* = h_{93/360} = 0.071$ $u^*c = r00j$
 Daten für jede Farbe:
 lab^*c und lab^*ic
 Bunttonexte:
 $u^*c = r00j$ $u^*d = m810$
 Kontrastreduzierungs-faktor:
 $c_{kr} = 1.0$
 Dreiecks-Helligkeit l^*

FR509_92a adaptierte CIELAB-Daten
 $L^* a^* b^*$ $C_{100}^* M_{100}^* h_{100}^*$ h_{100}^* h_{100}^* h_{100}^*

000	35.06	60.0	44.0	74.4	36	
025	38.77	-5.17	109.32	109.44	93	
050	44.13	-62.67	48.24	79.09	142	
075	52.66	-29.14	-31.99	43.27	228	
100	14.15	50.3	-59.04	77.57	310	
125	37.37	78.64	-33.5	85.48	337	
150	8.58	0.0	0.0	0.0	0	
175	92.02	0.0	0.0	0.0	0	
200	39.92	58.74	27.99	65.07	25	
225	48.97	-39.67	-6.72	40.27	190	
250	51.85	-32.33	-24.35	40.48	217	
275	47.58	-46.92	-17.29	-36.02	244	
300	37.91	1.28	-42.35	42.37	272	
325	23.81	30.38	-52.26	60.45	300	
350	29.52	69.06	-42.14	80.9	329	
375	36.48	71.47	-3.69	71.57	357	

FR509_92a adaptierte CIELAB-Daten
 $L^* a^* b^*$ $C_{100}^* M_{100}^* h_{100}^*$ h_{100}^* h_{100}^* h_{100}^*

000	35.47	63.32	30.17	70.15	25	m810
025	39.12	54.56	49.45	73.64	42	o109
050	50.64	39.15	64.89	75.79	59	o409
075	64.01	21.26	82.83	85.52	76	o699
100	83.18	-4.38	108.53	108.62	92	o989
125	66.73	-29.89	83.06	88.28	110	y340
150	54.03	-48.33	63.49	79.78	127	o990
175	44.73	-60.33	42.64	73.88	145	o836
200	47.59	-49.08	15.74	51.54	162	z236
225	48.97	-39.67	-6.72	40.27	190	z556
250	51.85	-32.33	-24.35	40.48	217	o876
275	47.58	-46.92	-17.29	-36.02	244	z206
300	37.91	1.28	-42.35	42.37	272	c539
325	23.81	30.38	-52.26	60.45	300	o876
350	29.52	69.06	-42.14	80.9	329	o686
375	36.48	71.47	-3.69	71.57	357	m346



Ein und Ausgabe: Farbmetrisches Drucker-Reflexiv-System FR509_92a für relativen CIELAB-Buntton $h^* = lab^*h^* = h_{93/360} = 0.21$ $u^*c = r75j$
 Daten für jede Farbe:
 lab^*c und lab^*ic
 Bunttonexte:
 $u^*c = r75j$ $u^*d = o69y$
 Kontrastreduzierungs-faktor:
 $c_{kr} = 1.0$
 Dreiecks-Helligkeit l^*

FR509_92a adaptierte CIELAB-Daten
 $L^* a^* b^*$ $C_{100}^* M_{100}^* h_{100}^*$ h_{100}^* h_{100}^* h_{100}^*

000	35.06	60.0	44.0	74.4	36	
025	38.77	-5.17	109.32	109.44	93	
050	44.13	-62.67	48.24	79.09	142	
075	52.66	-29.14	-31.99	43.27	228	
100	14.15	50.3	-59.04	77.57	310	
125	37.37	78.64	-33.5	85.48	337	
150	8.58	0.0	0.0	0.0	0	
175	92.02	0.0	0.0	0.0	0	
200	39.92	58.74	27.99	65.07	25	
225	48.97	-39.67	-6.72	40.27	190	
250	51.85	-32.33	-24.35	40.48	217	
275	47.58	-46.92	-17.29	-36.02	244	
300	37.91	1.28				

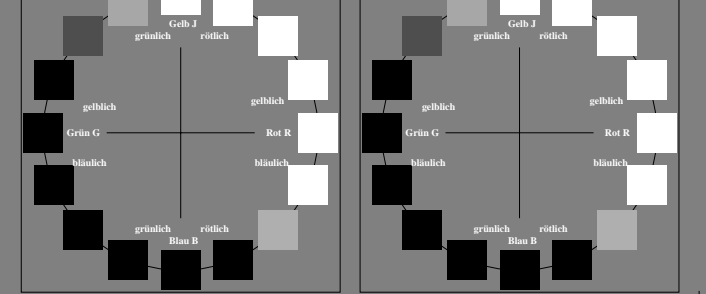
Ein und Ausgabe: Farbmetrisches Drucker-Reflexiv-System FR509_92a
 Daten für jede Farbe:
 $u^*_c = 16$ und Nummer $N_c = 00...15$
 Elementar-Bunttonexte:
 $u^*_c = 16$ Bunttonexte $r00j, r25j, \dots, b75r$
 Kontrastreduzierungsfaktor:
 $c_{kr} = 1.0$

FR509_92a adaptierte CIELAB-Daten
 $L^*, L^*a^*b^*$ u^*_c b^* C_{100} C_{50} R^*_{90} R^*_{45} R^*_{15}

000	35.47	63.32	30.17	70.15	25	m810
025	39.12	54.56	49.45	73.64	42	o109
050	50.64	39.15	64.89	75.79	59	o409
075	64.01	21.26	82.83	85.52	76	o699
100	83.18	-4.38	108.53	108.62	92	o989
125	66.73	-29.89	83.06	88.28	110	y440
150	54.03	-48.33	63.49	79.78	127	o990
175	44.73	-60.33	42.64	73.88	145	803c
200	47.59	-49.08	15.74	51.54	162	226c
225	48.97	-39.67	-6.72	40.27	190	155c
250	51.85	-32.33	-24.35	40.48	217	876c
275	47.58	-46.92	-17.29	-36.02	244	206c
300	37.91	1.28	-42.35	42.37	272	c59c
325	23.81	30.38	-52.26	60.45	300	o87c
350	29.52	69.06	-42.14	80.19	329	o68c
375	36.48	71.47	-3.69	71.57	357	m34c

R509_92a adaptierte CIELAB-Daten
 $L^*, L^*a^*b^*$ u^*_c b^* C_{100} C_{50} R^*_{90} R^*_{45} R^*_{15}

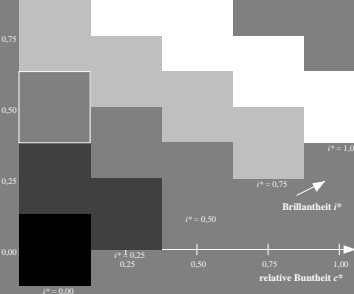
000	35.06	60.0	44.0	74.4	36	
025	38.37	-5.17	109.32	109.44	93	
050	44.13	-62.67	48.24	79.09	142	
075	52.66	-29.14	-31.99	43.27	228	
100	81.26	-2.89	71.56	71.62	92	
125	37.37	78.64	-33.5	85.48	337	
150	8.58	0.0	0.0	0.0	0	
175	92.02	0.0	0.0	0.0	0	
200	39.92	58.74	27.99	65.07	25	
225	48.97	-39.67	-6.72	40.27	190	
250	51.85	-32.33	-24.35	40.48	217	
275	47.58	-46.92	-17.29	-36.02	244	
300	37.91	1.28	-42.35	42.37	272	
325	23.81	30.38	-52.26	60.45	300	
350	29.52	69.06	-42.14	80.19	329	
375	36.48	71.47	-3.69	71.57	357	



Ein und Ausgabe: Farbmetrisches Drucker-Reflexiv-System FR509_92a für relativen CIELAB-Buntton $h^* = lab^*h^* = h_{93}/360 = 0.071$
 $u^*_c = r00j$
 Daten für jede Farbe:
 lab^*c^* und lab^*icu^*
 Bunttonexte:
 $u^*_c = r00j$ $u^*_d = m810$
 Kontrastreduzierungsfaktor:
 $c_{kr} = 1.0$
 Dreiecks-Helligkeit l^*

FR509_92a adaptierte CIELAB-Daten
 $L^*, L^*a^*b^*$ u^*_c b^* C_{100} C_{50} R^*_{90} R^*_{45} R^*_{15}

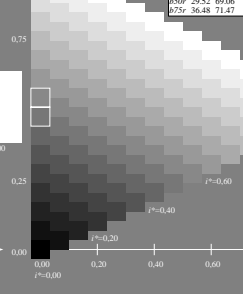
000	35.06	60.0	44.0	74.4	36	
025	38.37	-5.17	109.32	109.44	93	
050	44.13	-62.67	48.24	79.09	142	
075	52.66	-29.14	-31.99	43.27	228	
100	81.26	-2.89	71.56	71.62	92	
125	37.37	78.64	-33.5	85.48	337	
150	8.58	0.0	0.0	0.0	0	
175	92.02	0.0	0.0	0.0	0	
200	39.92	58.74	27.99	65.07	25	
225	48.97	-39.67	-6.72	40.27	190	
250	51.85	-32.33	-24.35	40.48	217	
275	47.58	-46.92	-17.29	-36.02	244	
300	37.91	1.28	-42.35	42.37	272	
325	23.81	30.38	-52.26	60.45	300	
350	29.52	69.06	-42.14	80.19	329	
375	36.48	71.47	-3.69	71.57	357	



Ein und Ausgabe: Farbmetrisches Drucker-Reflexiv-System FR509_92a für relativen CIELAB-Buntton $h^* = lab^*h^* = h_{93}/360 = 0.117$
 $u^*_c = r25j$
 Daten für jede Farbe:
 lab^*c^* und lab^*icu^*
 Bunttonexte:
 $u^*_c = r25j$ $u^*_d = o109$
 Kontrastreduzierungsfaktor:
 $c_{kr} = 1.0$
 Dreiecks-Helligkeit l^*

FR509_92a adaptierte CIELAB-Daten
 $L^*, L^*a^*b^*$ u^*_c b^* C_{100} C_{50} R^*_{90} R^*_{45} R^*_{15}

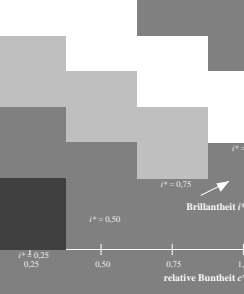
000	35.47	63.32	30.17	70.15	25	m810
025	39.12	54.56	49.45	73.64	42	o109
050	50.64	39.15	64.89	75.79	59	o409
075	64.01	21.26	82.83	85.52	76	o699
100	83.18	-4.38	108.53	108.62	92	o989
125	66.73	-29.89	83.06	88.28	110	y440
150	54.03	-48.33	63.49	79.78	127	o990
175	44.73	-60.33	42.64	73.88	145	803c
200	47.59	-49.08	15.74	51.54	162	226c
225	48.97	-39.67	-6.72	40.27	190	155c
250	51.85	-32.33	-24.35	40.48	217	876c
275	47.58	-46.92	-17.29	-36.02	244	206c
300	37.91	1.28	-42.35	42.37	272	c59c
325	23.81	30.38	-52.26	60.45	300	o87c
350	29.52	69.06	-42.14	80.19	329	o68c
375	36.48	71.47	-3.69	71.57	357	m34c



Ein und Ausgabe: Farbmetrisches Drucker-Reflexiv-System FR509_92a für relativen CIELAB-Buntton $h^* = lab^*h^* = h_{93}/360 = 0.256$
 $u^*_c = r100$
 Daten für jede Farbe:
 lab^*c^* und lab^*icu^*
 Bunttonexte:
 $u^*_c = r100$ $u^*_d = o699$
 Kontrastreduzierungsfaktor:
 $c_{kr} = 1.0$
 Dreiecks-Helligkeit l^*

FR509_92a adaptierte CIELAB-Daten
 $L^*, L^*a^*b^*$ u^*_c b^* C_{100} C_{50} R^*_{90} R^*_{45} R^*_{15}

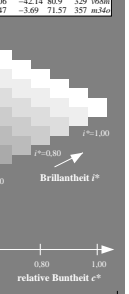
000	35.47	63.32	30.17	70.15	25	m810
025	39.12	54.56	49.45	73.64	42	o109
050	50.64	39.15	64.89	75.79	59	o409
075	64.01	21.26	82.83	85.52	76	o699
100	83.18	-4.38	108.53	108.62	92	o989
125	66.73	-29.89	83.06	88.28	110	y440
150	54.03	-48.33	63.49	79.78	127	o990
175	44.73	-60.33	42.64	73.88	145	803c
200	47.59	-49.08	15.74	51.54	162	226c
225	48.97	-39.67	-6.72	40.27	190	155c
250	51.85	-32.33	-24.35	40.48	217	876c
275	47.58	-46.92	-17.29	-36.02	244	206c
300	37.91	1.28	-42.35	42.37	272	c59c
325	23.81	30.38	-52.26	60.45	300	o87c
350	29.52	69.06	-42.14	80.19	329	o68c
375	36.48	71.47	-3.69	71.57	357	m34c



Ein und Ausgabe: Farbmetrisches Drucker-Reflexiv-System FR509_92a für relativen CIELAB-Buntton $h^* = lab^*h^* = h_{93}/360 = 0.402$
 $u^*_c = r75g$
 Daten für jede Farbe:
 lab^*c^* und lab^*icu^*
 Bunttonexte:
 $u^*_c = r75g$ $u^*_d = o30c$
 Kontrastreduzierungsfaktor:
 $c_{kr} = 1.0$
 Dreiecks-Helligkeit l^*

FR509_92a adaptierte CIELAB-Daten
 $L^*, L^*a^*b^*$ u^*_c b^* C_{100} C_{50} R^*_{90} R^*_{45} R^*_{15}

000	35.47	63.32	30.17	70.15	25	m810
025	39.12	54.56	49.45	73.64	42	o109
050	50.64	39.15	64.89	75.79	59	o409
075	64.01	21.26	82.83	85.52	76	o699
100	83.18	-4.38	108.53	108.62	92	o989
125	66.73	-29.89	83.06	88.28	110	y440
150	54.03	-48.33	63.49	79.78	127	o990
175	44.73	-60.33	42.64	73.88	145	803c
200	47.59	-49.08	15.74	51.54	162	226c
225	48.97	-39.67	-6.72	40.27	190	155c
250	51.85	-32.33	-24.35	40.48	217	876c
275	47.58	-46.92	-17.29	-36.02	244	206c
300	37.91	1.28	-42.35	42.37	272	c59c
325	23.81	30.38	-52.26	60.45	300	o87c
350	29.52	69.06	-42.14	80.19	329	o68c
375	36.48	71.47	-3.69	71.57	357	m34c



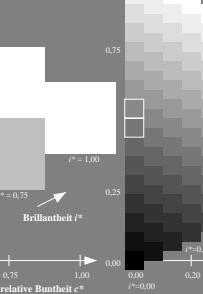
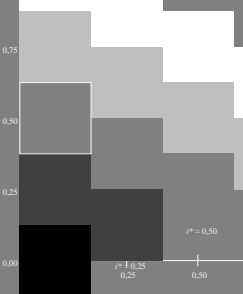
Ein und Ausgabe: Farbmetrisches Drucker-Reflexiv-System FR509_92a für relativen CIELAB-Buntton $h^* = lab^*h^* = h_{93}/360 = 0.164$
 $u^*_c = r50j$
 Daten für jede Farbe:
 lab^*c^* und lab^*icu^*
 Bunttonexte:
 $u^*_c = r50j$ $u^*_d = o409$
 Kontrastreduzierungsfaktor:
 $c_{kr} = 1.0$
 Dreiecks-Helligkeit l^*

FR509_92a adaptierte CIELAB-Daten
 $L^*, L^*a^*b^*$ u^*_c b^* C_{100} C_{50} R^*_{90} R^*_{45} R^*_{15}

000	35.06	60.0	44.0	74.4	36	
025	38.37	-5.17	109.32	109.44	93	
050	44.13	-62.67	48.24	79.09	142	
075	52.66	-29.14	-31.99	43.27	228	
100	81.26	-2.89	71.56	71.62	92	
125	37.37	78.64	-33.5	85.48	337	
150	8.58	0.0	0.0	0.0	0	
175	92.02	0.0	0.0	0.0	0	
200	39.92	58.74	27.99	65.07	25	
225	48.97	-39.67	-6.72	40.27	190	
250	51.85	-32.33	-24.35	40.48	217	
275	47.58	-46.92	-17.29	-36.02	244	
300	37.91	1.28	-42.35	42.37	272	
325	23.81	30.38	-52.26	60.45	300	
350	29.52	69.06	-42.14	80.19	329	
375	36.48	71.47	-3.69	71.57	357	

R509_92a adaptierte CIELAB-Daten
 $L^*, L^*a^*b^*$ u^*_c b^* C_{100} C_{50} R^*_{90} R^*_{45} R^*_{15}

000	35.47	63.32	30.17	70.15	25	m810
025	39.12	54.56	49.45	73.64	42	o109
050	50.64	39.15	64.89	75.79	59	o409
075	64.01	21.26	82.83	85.52	76	o699
100	83.18	-4.38	108.53	108.62	92	o989
125	66.73	-29.89	83.06	88.28	110	y440
150	54.03	-48.33	63.49	79.78	127	o990
175	44.73	-60.33	42.64	73.88	145	803c
200	47.59	-49.08	15.74	51.54	162	226c
225	48.97	-39.67	-6.72	40.27	190	155c
250	51.85	-32.33	-24.35	40.48	217	876c
275	47.58	-46.92	-17.29	-36.02	244	206c
300	37.91	1.28	-42.35	42.37	272	c59c
325	23.81	30.38	-52.26	60.45	300	o87c
350	29.52	69.06	-42.14	80.19	329	o68c
375	36.48	71.47	-3.69	71.57	357	m34c



Ein und Ausgabe: Farbmetrisches Drucker-Reflexiv-System FR509_92a für relativen CIELAB-Buntton $h^* = lab^*h^* = h_{93}/360 = 0.21$
 $u^*_c = r75j$
 Daten für jede Farbe:
 lab^*c^* und lab^*icu^*
 Bunttonexte:
 $u^*_c = r75j$ $u^*_d = o699$
 Kontrastreduzierungsfaktor:
 $c_{kr} = 1.0$
 Dreiecks-Helligkeit l^*

FR509_92a adaptierte CIELAB-Daten
 $L^*, L^*a^*b^*$ u^*_c b^* C_{100} C_{50} R^*_{90} R^*_{45} R^*_{15}

000	35.06	60.0	44.0	74.4	36	
025	38.37	-5.17	109.32	109.44	93	
050	44.13	-62.67	48.24	79.09	142	
075	52					

Ein und Ausgabe: Farbmetrisches Drucker-Reflexiv-System FR509_92a
 Daten für jede Farbe:
 u^*c und Nummer $Nr = 00..15$
 Elementar-Bunttonexte:
 $u^*c = 16$ Bunttonexte $r00r, r25j, \dots, b75r$
 Kontrastreduzierungsfaktor:
 $c_{kr} = 1.0$

FR509_92a adaptierte CIELAB-Daten
 $L^* a^* b^*$ $L^* L^* a^* a^* b^* b^*$ $C_{100} C_{50} M_{90} M_{50} M_{10}$

000	35.47	63.32	30.17	70.15	25	m810
025	39.12	54.56	49.45	73.64	42	o109
050	50.64	39.15	64.89	75.79	59	o409
075	64.01	21.26	82.83	85.52	76	o699
100	83.18	-4.38	108.53	108.62	92	o989
125	66.73	-29.89	83.06	88.28	110	y44f
150	54.03	-48.31	63.49	79.78	127	o90f
175	44.73	-60.33	42.64	73.88	145	803c
200	47.59	-49.08	15.74	51.54	162	226c
225	48.97	-39.67	-6.72	40.27	190	155c
250	51.85	-32.33	-24.35	40.48	217	876c
275	48.62	-17.29	-36.02	39.96	244	206c
300	37.91	1.28	-42.35	42.37	272	c59f
325	23.81	30.38	-52.26	60.45	300	o87f
350	29.52	69.06	-42.14	80.19	329	o68f
375	36.48	71.47	-3.69	71.57	357	m34f

FR509_92a adaptierte CIELAB-Daten
 Daten für Maximalfarbe (Ma):
 $LAB^*/LAB^*Ma: 51$ 76 58
 $LAB^*/LCH^*Ma: 51$ 76 58
 $lab^*/lab^*Ma: 1.0$ 0.5 0.0
 $lab^*/lab^*Ma: 1.0$ 0.4 0.0

000	35.47	63.32	30.17	70.15	25	m810
025	39.12	54.56	49.45	73.64	42	o109
050	50.64	39.15	64.89	75.79	59	o409
075	64.01	21.26	82.83	85.52	76	o699
100	83.18	-4.38	108.53	108.62	92	o989
125	66.73	-29.89	83.06	88.28	110	y44f
150	54.03	-48.31	63.49	79.78	127	o90f
175	44.73	-60.33	42.64	73.88	145	803c
200	47.59	-49.08	15.74	51.54	162	226c
225	48.97	-39.67	-6.72	40.27	190	155c
250	51.85	-32.33	-24.35	40.48	217	876c
275	48.62	-17.29	-36.02	39.96	244	206c
300	37.91	1.28	-42.35	42.37	272	c59f
325	23.81	30.38	-52.26	60.45	300	o87f
350	29.52	69.06	-42.14	80.19	329	o68f
375	36.48	71.47	-3.69	71.57	357	m34f

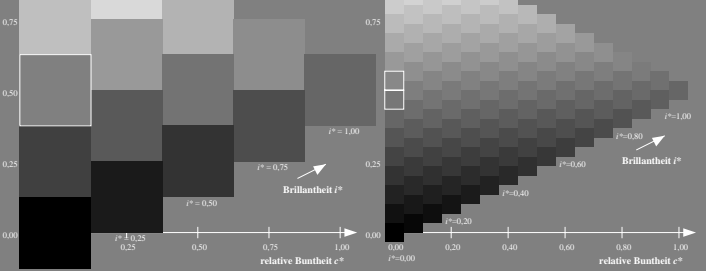


Ein und Ausgabe: Farbmetrisches Drucker-Reflexiv-System FR509_92a für relativen CIELAB-Buntton $h^* = lab^*/h^* = h_{95}/360 = 0.164$ $u^*c = r50j$

Daten für jede Farbe:
 lab^*/a^* und lab^*/b^*
 Bunttonexte:
 $u^*c = r50j$ $u^*a = o40y$
 Kontrastreduzierungsfaktor:
 $c_{kr} = 1.0$
 Dreiecks-Helligkeit l^*

FR509_92a adaptierte CIELAB-Daten
 $L^* L^* a^* a^* b^* b^*$ $C_{100} C_{50} M_{90} M_{50} M_{10}$

000	35.47	63.32	30.17	70.15	25	m810
025	39.12	54.56	49.45	73.64	42	o109
050	50.64	39.15	64.89	75.79	59	o409
075	64.01	21.26	82.83	85.52	76	o699
100	83.18	-4.38	108.53	108.62	92	o989
125	66.73	-29.89	83.06	88.28	110	y44f
150	54.03	-48.31	63.49	79.78	127	o90f
175	44.73	-60.33	42.64	73.88	145	803c
200	47.59	-49.08	15.74	51.54	162	226c
225	48.97	-39.67	-6.72	40.27	190	155c
250	51.85	-32.33	-24.35	40.48	217	876c
275	48.62	-17.29	-36.02	39.96	244	206c
300	37.91	1.28	-42.35	42.37	272	c59f
325	23.81	30.38	-52.26	60.45	300	o87f
350	29.52	69.06	-42.14	80.19	329	o68f
375	36.48	71.47	-3.69	71.57	357	m34f

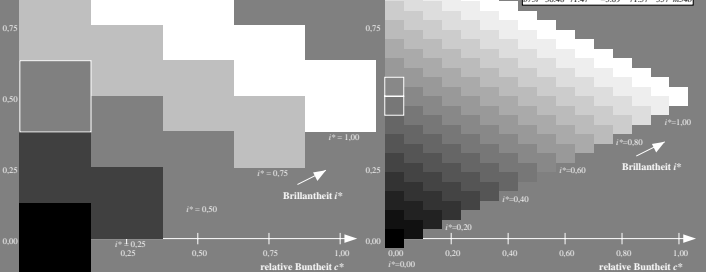


Ein und Ausgabe: Farbmetrisches Drucker-Reflexiv-System FR509_92a für relativen CIELAB-Buntton $h^* = lab^*/h^* = h_{95}/360 = 0.395$ $u^*c = r25jg$

Daten für jede Farbe:
 lab^*/a^* und lab^*/b^*
 Bunttonexte:
 $u^*c = r25jg$ $u^*a = y34f$
 Kontrastreduzierungsfaktor:
 $c_{kr} = 1.0$
 Dreiecks-Helligkeit l^*

FR509_92a adaptierte CIELAB-Daten
 $L^* L^* a^* a^* b^* b^*$ $C_{100} C_{50} M_{90} M_{50} M_{10}$

000	35.47	63.32	30.17	70.15	25	m810
025	39.12	54.56	49.45	73.64	42	o109
050	50.64	39.15	64.89	75.79	59	o409
075	64.01	21.26	82.83	85.52	76	o699
100	83.18	-4.38	108.53	108.62	92	o989
125	66.73	-29.89	83.06	88.28	110	y44f
150	54.03	-48.31	63.49	79.78	127	o90f
175	44.73	-60.33	42.64	73.88	145	803c
200	47.59	-49.08	15.74	51.54	162	226c
225	48.97	-39.67	-6.72	40.27	190	155c
250	51.85	-32.33	-24.35	40.48	217	876c
275	48.62	-17.29	-36.02	39.96	244	206c
300	37.91	1.28	-42.35	42.37	272	c59f
325	23.81	30.38	-52.26	60.45	300	o87f
350	29.52	69.06	-42.14	80.19	329	o68f
375	36.48	71.47	-3.69	71.57	357	m34f

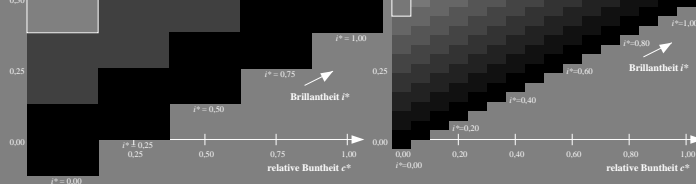


Ein und Ausgabe: Farbmetrisches Drucker-Reflexiv-System FR509_92a für relativen CIELAB-Buntton $h^* = lab^*/h^* = h_{95}/360 = 0.071$ $u^*c = r00j$

Daten für jede Farbe:
 lab^*/a^* und lab^*/b^*
 Bunttonexte:
 $u^*c = r00j$ $u^*a = m810$
 Kontrastreduzierungsfaktor:
 $c_{kr} = 1.0$
 Dreiecks-Helligkeit l^*

FR509_92a adaptierte CIELAB-Daten
 $L^* L^* a^* a^* b^* b^*$ $C_{100} C_{50} M_{90} M_{50} M_{10}$

000	35.47	63.32	30.17	70.15	25	m810
025	39.12	54.56	49.45	73.64	42	o109
050	50.64	39.15	64.89	75.79	59	o409
075	64.01	21.26	82.83	85.52	76	o699
100	83.18	-4.38	108.53	108.62	92	o989
125	66.73	-29.89	83.06	88.28	110	y44f
150	54.03	-48.31	63.49	79.78	127	o90f
175	44.73	-60.33	42.64	73.88	145	803c
200	47.59	-49.08	15.74	51.54	162	226c
225	48.97	-39.67	-6.72	40.27	190	155c
250	51.85	-32.33	-24.35	40.48	217	876c
275	48.62	-17.29	-36.02	39.96	244	206c
300	37.91	1.28	-42.35	42.37	272	c59f
325	23.81	30.38	-52.26	60.45	300	o87f
350	29.52	69.06	-42.14	80.19	329	o68f
375	36.48	71.47	-3.69	71.57	357	m34f

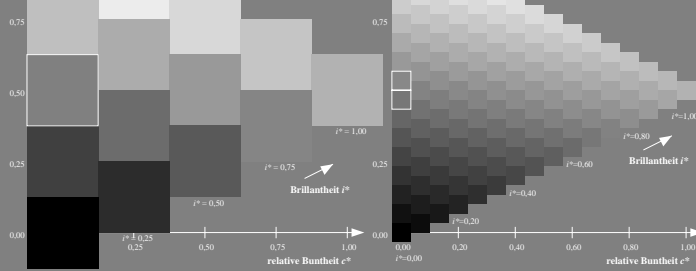


Ein und Ausgabe: Farbmetrisches Drucker-Reflexiv-System FR509_92a für relativen CIELAB-Buntton $h^* = lab^*/h^* = h_{95}/360 = 0.21$ $u^*c = r75j$

Daten für jede Farbe:
 lab^*/a^* und lab^*/b^*
 Bunttonexte:
 $u^*c = r75j$ $u^*a = o69y$
 Kontrastreduzierungsfaktor:
 $c_{kr} = 1.0$
 Dreiecks-Helligkeit l^*

FR509_92a adaptierte CIELAB-Daten
 $L^* L^* a^* a^* b^* b^*$ $C_{100} C_{50} M_{90} M_{50} M_{10}$

000	35.47	63.32	30.17	70.15	25	m810
025	39.12	54.56	49.45	73.64	42	o109
050	50.64	39.15	64.89	75.79	59	o409
075	64.01	21.26	82.83	85.52	76	o699
100	83.18	-4.38	108.53	108.62	92	o989
125	66.73	-29.89	83.06	88.28	110	y44f
150	54.03	-48.31	63.49	79.78	127	o90f
175	44.73	-60.33	42.64	73.88	145	803c
200	47.59	-49.08	15.74	51.54	162	226c
225	48.97	-39.67	-6.72	40.27	190	155c
250	51.85	-32.33	-24.35	40.48	217	876c
275	48.62	-17.29	-36.02	39.96	244	206c
300	37.91	1.28	-42.35	42.37	272	c59f
325	23.81	30.38	-52.26	60.45	300	o87f
350	29.52	69.06	-42.14	80.19	329	o68f
375	36.48	71.47	-3.69	71.57	357	m34f

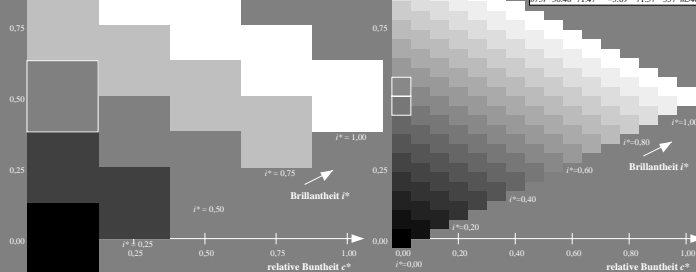


Ein und Ausgabe: Farbmetrisches Drucker-Reflexiv-System FR509_92a für relativen CIELAB-Buntton $h^* = lab^*/h^* = h_{95}/360 = 0.354$ $u^*c = r50g$

Daten für jede Farbe:
 lab^*/a^* und lab^*/b^*
 Bunttonexte:
 $u^*c = r50g$ $u^*a = y69f$
 Kontrastreduzierungsfaktor:
 $c_{kr} = 1.0$
 Dreiecks-Helligkeit l^*

FR509_92a adaptierte CIELAB-Daten
 $L^* L^* a^* a^* b^* b^*$ $C_{100} C_{50} M_{90} M_{50} M_{10}$

000	35.47	63.32	30.17	70.15	25	m810
025	39.12	54.56	49.45	73.64	42	o109
050	50.64	39.15	64.89	75.79	59	o409
075	64.01	21.26	82.83	85.52	76	o699
100	83.18	-4.38	108.53	108.62	92	o989
125	66.73	-29.89	83.06	88.28	110	y44f
150	54.03	-48.31	63.49	79.78	127	o90f
175	44.73	-60.33	42.64	73.88	145	803c
200	47.59	-49.08	15.74	51.54	162	226c
225	48.97	-39.67	-6.72	40.27	190	155c
250	51.85	-32.33	-24.35	40.48	217	876c
275	48.62	-17.29	-36.02	39.96	244	206c
300	37.91	1.28	-42.35	42.37	272	c59f
325	23.81	30.38	-52.26	60.45	300	o87f
350	29.52	69.06	-42.14	80.19	329	o68f
375	36.48	71.47	-3.69	71.57	357	m34f

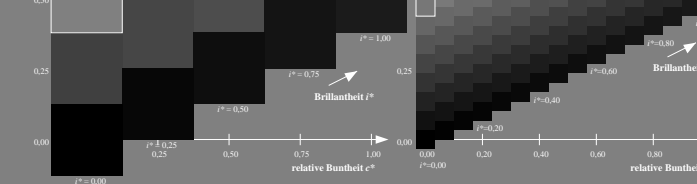


Ein und Ausgabe: Farbmetrisches Drucker-Reflexiv-System FR509_92a für relativen CIELAB-Buntton $h^* = lab^*/h^* = h_{95}/360 = 0.117$ $u^*c = r25j$

Daten für jede Farbe:
 lab^*/a^* und lab^*/b^*
 Bunttonexte:
 $u^*c = r25j$ $u^*a = o10y$
 Kontrastreduzierungsfaktor:
 $c_{kr} = 1.0$
 Dreiecks-Helligkeit l^*

FR509_92a adaptierte CIELAB-Daten
 $L^* L^* a^* a^* b^* b^*$ $C_{100} C_{50} M_{90} M_{50} M_{10}$

000	35.47	63.32	30.17	70.15	25	m810
025	39.12	54.56	49.45	73.64	42	o109
050	50.64	39.15	64.89	75.79	59	o409
075	64.01	21.26	82.83	85.52	76	o699
100	83.18	-4.38	108.53	108.62	92	o989
125	66.73	-29.89	83.06	88.28	110	y44f
150	54.03	-48.31	63.49	79.78	127	o90f
175	44.73	-60.33	42.64	73.88	145	803c
200	47.59	-49.08	15.74	51.54	162	226c
225	48.97	-39.67	-6.72	40.27	190	155c
250	51.85	-32.33	-24.35	40.48	217	876c
275	48.62	-17.29	-36.02	39.96	244	206c
300	37.91	1.28	-42.35	42.37	272	c59f
325	23.81	30.38	-52.26	60.45	300	o87f
350	29.52	69.06	-42.14	80.19	329	o68f
375	36.48	71.47	-3.69	71.57	357	m34f



Ein und Ausgabe: Farbmetrisches Drucker-Reflexiv-System FR509_92a für relativen CIELAB-Buntton $h^* = lab^*/h^* = h_{95}/360 = 0.256$ $u^*c = r00g$

Daten für jede Farbe:
 lab^*/a

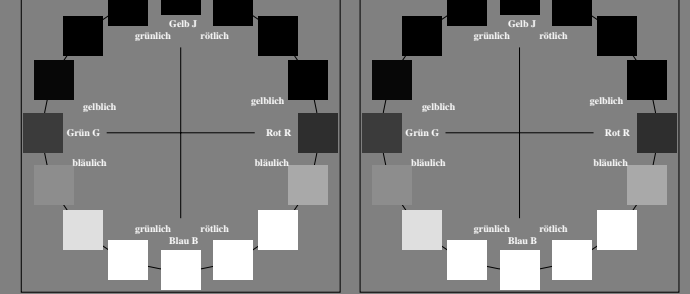
Ein und Ausgabe: Farbmetrisches Drucker-Reflexiv-System FR509_92a
 Daten für jede Farbe:
 $u^*c = \text{rot}$ und Nummer $Nr = 00 \dots 15$
 Elementar-Bunttonexte:
 $u^*c = 16$ Bunttonexte $\text{rot}_R, \text{r25j}, \dots, \text{b75r}$
 Kontrastreduzierungsfaktor:
 $c_{kr} = 1.0$

FR509_92a adaptierte CIELAB-Daten
 $L^* \ L^*a^* \ L^*b^* \ C_{ab}^* \ h^*_{ab}$

000	35.47	63.32	30.17	70.15	25	m810
025	39.12	54.56	49.45	73.64	42	o109
050	50.64	39.15	64.89	75.79	59	o409
075	64.01	21.26	82.83	85.52	76	o699
100	83.18	-4.38	108.53	108.62	92	o989
125	66.73	-29.89	83.06	88.28	110	y340
150	54.03	-48.33	63.49	79.78	127	o990
175	44.73	-60.33	42.64	73.88	145	803c
200	47.59	-49.08	15.74	51.54	162	226c
225	48.97	-39.67	-6.72	40.27	180	155c
250	51.85	-32.33	-24.35	40.48	217	876c
275	46.82	-17.29	-36.02	39.96	244	206c
300	37.91	1.28	-42.35	42.37	272	c539
325	23.81	30.38	-52.26	60.45	300	o87c
350	29.52	69.06	-42.14	80.9	329	o68a
375	36.48	71.47	-3.69	71.57	357	m34a

FR509_92a adaptierte CIELAB-Daten
 $L^* \ L^*a^* \ L^*b^* \ C_{ab}^* \ h^*_{ab}$

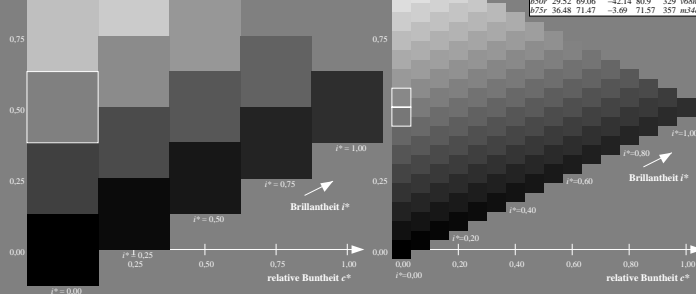
000	35.06	60.0	44.0	74.4	36	
025	38.77	-5.17	109.32	109.44	93	
050	50.64	39.15	64.89	75.79	59	
075	64.01	21.26	82.83	85.52	76	
100	83.18	-4.38	108.53	108.62	92	
125	66.73	-29.89	83.06	88.28	110	
150	54.03	-48.33	63.49	79.78	127	
175	44.73	-60.33	42.64	73.88	145	
200	47.59	-49.08	15.74	51.54	162	
225	48.97	-39.67	-6.72	40.27	180	
250	51.85	-32.33	-24.35	40.48	217	
275	46.82	-17.29	-36.02	39.96	244	
300	37.91	1.28	-42.35	42.37	272	
325	23.81	30.38	-52.26	60.45	300	
350	29.52	69.06	-42.14	80.9	329	
375	36.48	71.47	-3.69	71.57	357	



Ein und Ausgabe: Farbmetrisches Drucker-Reflexiv-System FR509_92a für relativen CIELAB-Buntton $h^* = \text{lab}^*h^* = h_{93/360} = 0.071$
 $u^*c = \text{rot}$
 Daten für jede Farbe:
 lab^*c und lab^*c
 Bunttonexte:
 $u^*c = \text{rot}$ $u^*a = \text{m810}$
 Kontrastreduzierungsfaktor:
 $c_{kr} = 1.0$
 Dreiecks-Helligkeit l^*

FR509_92a adaptierte CIELAB-Daten
 $L^* \ L^*a^* \ L^*b^* \ C_{ab}^* \ h^*_{ab}$

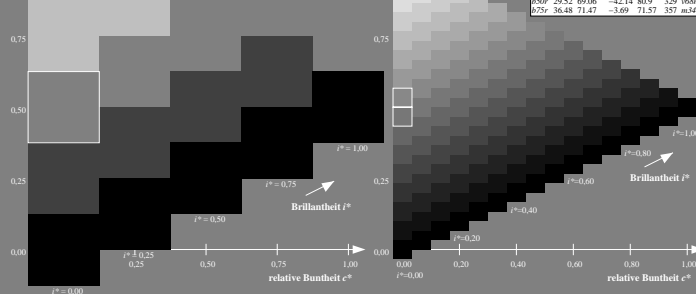
000	35.06	60.0	44.0	74.4	36	
025	38.77	-5.17	109.32	109.44	93	
050	50.64	39.15	64.89	75.79	59	
075	64.01	21.26	82.83	85.52	76	
100	83.18	-4.38	108.53	108.62	92	
125	66.73	-29.89	83.06	88.28	110	
150	54.03	-48.33	63.49	79.78	127	
175	44.73	-60.33	42.64	73.88	145	
200	47.59	-49.08	15.74	51.54	162	
225	48.97	-39.67	-6.72	40.27	180	
250	51.85	-32.33	-24.35	40.48	217	
275	46.82	-17.29	-36.02	39.96	244	
300	37.91	1.28	-42.35	42.37	272	
325	23.81	30.38	-52.26	60.45	300	
350	29.52	69.06	-42.14	80.9	329	
375	36.48	71.47	-3.69	71.57	357	



Ein und Ausgabe: Farbmetrisches Drucker-Reflexiv-System FR509_92a für relativen CIELAB-Buntton $h^* = \text{lab}^*h^* = h_{93/360} = 0.117$
 $u^*c = \text{r25j}$
 Daten für jede Farbe:
 lab^*c und lab^*c
 Bunttonexte:
 $u^*c = \text{r25j}$ $u^*a = \text{o109}$
 Kontrastreduzierungsfaktor:
 $c_{kr} = 1.0$
 Dreiecks-Helligkeit l^*

FR509_92a adaptierte CIELAB-Daten
 $L^* \ L^*a^* \ L^*b^* \ C_{ab}^* \ h^*_{ab}$

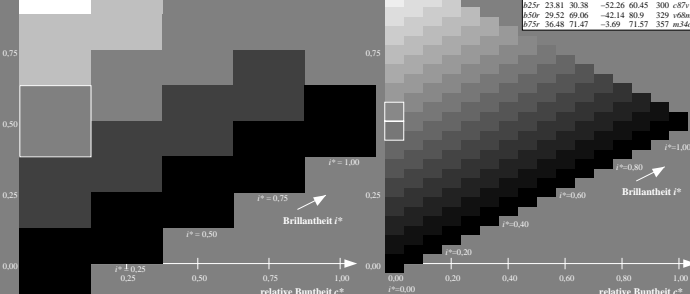
000	35.47	63.32	30.17	70.15	25	m810
025	39.12	54.56	49.45	73.64	42	o109
050	50.64	39.15	64.89	75.79	59	o409
075	64.01	21.26	82.83	85.52	76	o699
100	83.18	-4.38	108.53	108.62	92	o989
125	66.73	-29.89	83.06	88.28	110	y340
150	54.03	-48.33	63.49	79.78	127	o990
175	44.73	-60.33	42.64	73.88	145	803c
200	47.59	-49.08	15.74	51.54	162	226c
225	48.97	-39.67	-6.72	40.27	180	155c
250	51.85	-32.33	-24.35	40.48	217	876c
275	46.82	-17.29	-36.02	39.96	244	206c
300	37.91	1.28	-42.35	42.37	272	c539
325	23.81	30.38	-52.26	60.45	300	o87c
350	29.52	69.06	-42.14	80.9	329	o68a
375	36.48	71.47	-3.69	71.57	357	m34a



Ein und Ausgabe: Farbmetrisches Drucker-Reflexiv-System FR509_92a für relativen CIELAB-Buntton $h^* = \text{lab}^*h^* = h_{93/360} = 0.164$
 $u^*c = \text{r50j}$
 Daten für jede Farbe:
 lab^*c und lab^*c
 Bunttonexte:
 $u^*c = \text{r50j}$ $u^*a = \text{o409}$
 Kontrastreduzierungsfaktor:
 $c_{kr} = 1.0$
 Dreiecks-Helligkeit l^*

FR509_92a adaptierte CIELAB-Daten
 $L^* \ L^*a^* \ L^*b^* \ C_{ab}^* \ h^*_{ab}$

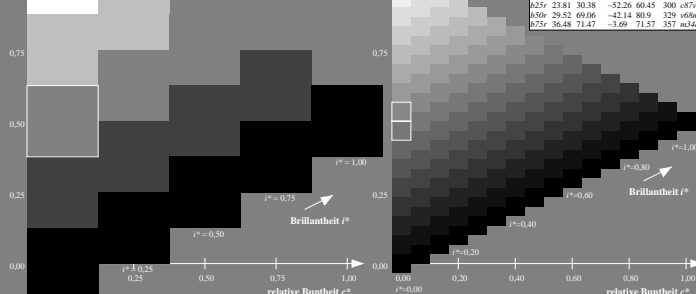
000	35.47	63.32	30.17	70.15	25	m810
025	39.12	54.56	49.45	73.64	42	o109
050	50.64	39.15	64.89	75.79	59	o409
075	64.01	21.26	82.83	85.52	76	o699
100	83.18	-4.38	108.53	108.62	92	o989
125	66.73	-29.89	83.06	88.28	110	y340
150	54.03	-48.33	63.49	79.78	127	o990
175	44.73	-60.33	42.64	73.88	145	803c
200	47.59	-49.08	15.74	51.54	162	226c
225	48.97	-39.67	-6.72	40.27	180	155c
250	51.85	-32.33	-24.35	40.48	217	876c
275	46.82	-17.29	-36.02	39.96	244	206c
300	37.91	1.28	-42.35	42.37	272	c539
325	23.81	30.38	-52.26	60.45	300	o87c
350	29.52	69.06	-42.14	80.9	329	o68a
375	36.48	71.47	-3.69	71.57	357	m34a



Ein und Ausgabe: Farbmetrisches Drucker-Reflexiv-System FR509_92a für relativen CIELAB-Buntton $h^* = \text{lab}^*h^* = h_{93/360} = 0.21$
 $u^*c = \text{r75j}$
 Daten für jede Farbe:
 lab^*c und lab^*c
 Bunttonexte:
 $u^*c = \text{r75j}$ $u^*a = \text{o699}$
 Kontrastreduzierungsfaktor:
 $c_{kr} = 1.0$
 Dreiecks-Helligkeit l^*

FR509_92a adaptierte CIELAB-Daten
 $L^* \ L^*a^* \ L^*b^* \ C_{ab}^* \ h^*_{ab}$

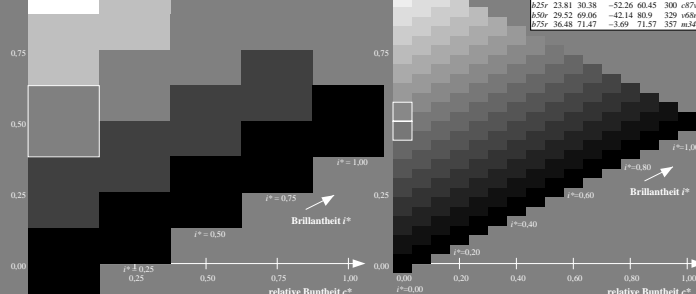
000	35.06	60.0	44.0	74.4	36	
025	38.77	-5.17	109.32	109.44	93	
050	50.64	39.15	64.89	75.79	59	
075	64.01	21.26	82.83	85.52	76	
100	83.18	-4.38	108.53	108.62	92	
125	66.73	-29.89	83.06	88.28	110	
150	54.03	-48.33	63.49	79.78	127	
175	44.73	-60.33	42.64	73.88	145	
200	47.59	-49.08	15.74	51.54	162	
225	48.97	-39.67	-6.72	40.27	180	
250	51.85	-32.33	-24.35	40.48	217	
275	46.82	-17.29	-36.02	39.96	244	
300	37.91	1.28	-42.35	42.37	272	
325	23.81	30.38	-52.26	60.45	300	
350	29.52	69.06	-42.14	80.9	329	
375	36.48	71.47	-3.69	71.57	357	



Ein und Ausgabe: Farbmetrisches Drucker-Reflexiv-System FR509_92a für relativen CIELAB-Buntton $h^* = \text{lab}^*h^* = h_{93/360} = 0.256$
 $u^*c = \text{r100g}$
 Daten für jede Farbe:
 lab^*c und lab^*c
 Bunttonexte:
 $u^*c = \text{r100g}$ $u^*a = \text{o999}$
 Kontrastreduzierungsfaktor:
 $c_{kr} = 1.0$
 Dreiecks-Helligkeit l^*

FR509_92a adaptierte CIELAB-Daten
 $L^* \ L^*a^* \ L^*b^* \ C_{ab}^* \ h^*_{ab}$

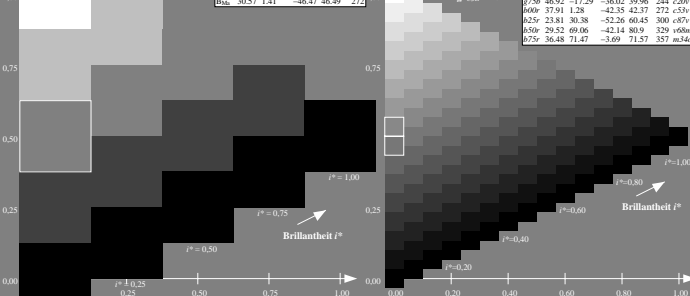
000	35.47	63.32	30.17	70.15	25	m810
025	39.12	54.56	49.45	73.64	42	o109
050	50.64	39.15	64.89	75.79	59	o409
075	64.01	21.26	82.83	85.52	76	o699
100	83.18	-4.38	108.53	108.62	92	o989
125	66.73	-29.89	83.06	88.28	110	y340
150	54.03	-48.33	63.49	79.78	127	o990
175	44.73	-60.33	42.64	73.88	145	803c
200	47.59	-49.08	15.74	51.54	162	226c
225	48.97	-39.67	-6.72	40.27	180	155c
250	51.85	-32.33	-24.35	40.48	217	876c
275	46.82	-17.29	-36.02	39.96	244	206c
300	37.91	1.28	-42.35	42.37	272	c539
325	23.81	30.38	-52.26	60.45	300	o87c
350	29.52	69.06	-42.14	80.9	329	o68a
375	36.48	71.47	-3.69	71.57	357	m34a



Ein und Ausgabe: Farbmetrisches Drucker-Reflexiv-System FR509_92a für relativen CIELAB-Buntton $h^* = \text{lab}^*h^* = h_{93/360} = 0.305$
 $u^*c = \text{r250g}$
 Daten für jede Farbe:
 lab^*c und lab^*c
 Bunttonexte:
 $u^*c = \text{r250g}$ $u^*a = \text{y340}$
 Kontrastreduzierungsfaktor:
 $c_{kr} = 1.0$
 Dreiecks-Helligkeit l^*

FR509_92a adaptierte CIELAB-Daten
 $L^* \ L^*a^* \ L^*b^* \ C_{ab}^* \ h^*_{ab}$

000	35.47	63.32	30.17	70.15	25	m810
025	39.12	54.56	49.45	73.64	42	o109
050	50.64	39.15	64.89	75.79	59	o409
075	64.01	21.26	82.83	85.52	76	o699
100	83.18	-4.38	108.53	108.62	92	o989
125	66.73	-29.89	83.06	88.28	110	y340
150	54.03	-48.33	63.49	79.78	127	o990
175	44.73	-60.33	42.64	73.88	145	803c
200	47.59	-49.08	15.74	51.54	162	226c
225	48.97	-39.67	-6.72	40.27	180	155c
250	51.85	-32.33	-24.35	40.48	217	876c
275	46.82	-17.29	-36.02	39.96	244	206c
300	37.91	1.28	-42.35	42.37	272	c539
325	23.81	30.38	-52.26	60.45	300	o87c
350	29.52	69.06	-42.14	80.9	329	o68a
375	36.48	71.47	-3.69	71.57	357	m34a



Ein und Ausgabe: Farbmetrisches Drucker-Reflexiv-System FR509_92a für relativen CIELAB-Buntton $h^* = \text{lab}^*h^* = h_{93/360} = 0.354$
 $u^*c = \text{r500g}$
 Daten für jede Farbe:
 lab^*c und lab^*c
 Bunttonexte:
 $u^*c = \text{r500g}$ $u^*a = \text{y699}$
 Kontrastreduzierungsfaktor:
 $c_{kr} = 1.0$
 Dreiecks-Helligkeit l^*

FR509_92a adaptierte CIELAB-Daten
 $L^* \ L^*a^* \ L^*b^* \ C_{ab}^* \ h^*_{ab}$

000	35.06	60.0	44.0	74.4	36	
025	38.77	-5.17	109.32	109.44	93	
050	50.64	39.15	64.89	75.79	59	
075	64.01	21.26	82.83	85.52	76	
100	83.18	-4.38	108.53	108.62	92	
125	66.73	-29.89	83.06	88.28	110	
150	54.03	-48.33	63.49	79.78		